

การหารูปร่างทางเรขาคณิตที่เหมาะสมในการระบายความร้อนของครีบบแผ่นที่ เรียงตัวแบบสลับแถว

Geometrical Optimization of Staggered Plate Fin Heat Sinks

เด่นพงษ์ สุดภักดี¹ นายกฤษฎา ภาวะคงบุญ² นัทรชัย เบนญปิยะพร³
ภาควิชาวิศวกรรมเครื่องกล คณะวิศวกรรมศาสตร์ มหาวิทยาลัยขอนแก่น
โทร 0-43393917 E-mail : denpong@kku.ac.th¹, dog_cat_rat@hotmail.com², chaban@kku.ac.th³

Denpong Soodphakdee¹ Kissada Pawakongbun² Chatchai Benjapiyaporn³

Department of Mechanical Engineering, Faculty of Engineering, Khon Kaen University

Tel : 0-43393917 E-mail : denpong@kku.ac.th¹, dog_cat_rat@hotmail.com², chaban@kku.ac.th³

1. บทคัดย่อ

การหารูปร่างที่เหมาะสมในการระบายความร้อนของครีบบแผ่นที่เรียงตัวแบบสลับแถวใช้การสร้างรูปร่างแบบจำลองโดยโปรแกรมคอมพิวเตอร์ และหาค่าโดยใช้ระเบียบวิธีพลศาสตร์ของไหลเชิงคำนวณ (Computational Fluid Dynamics, CFD) โดยให้อุณหภูมิคงที่ที่ฐานครีบบ (Heatsink Base) และที่ครีบบระบายความร้อน (Heatsink) โดยให้ค่าความหนาของครีบบระบายความร้อน (Fin Thickness) มีค่าคงที่ ทำการเปลี่ยนแปลงค่าความเร็วของอากาศ (Air Velocity) ค่าความยาวครีบบระบายความร้อน (Fin Length) ค่าระยะห่างระหว่างครีบบระบายความร้อน (Fin Pitch) และค่าความสูงของครีบบระบายความร้อน (Fin High) โดยนำค่าที่ได้จากการคำนวณค่าโดยใช้ระเบียบวิธีพลศาสตร์ของไหลเชิงคำนวณมาวิเคราะห์เพื่อหารูปร่างที่ให้อุณหภูมิคงที่ในการถ่ายโอนความร้อนที่ดีที่สุด ซึ่งจะออกมาในรูปแบบของตัวแปรไร้มิติ เช่น $Nu = aRe^bPr^c$

To find the best geometrical optimization of staggered plate fin heat sinks in transferring heat using computational fluid dynamic; assigning is isothermal wall at base and Heatsink with fin thickness is constant. However, varying air velocity, fin length, fin pitch and changing fin height. The values from Computational Fluid Dynamics (CFD) will be used to analyze the best geometrical optimization of staggered plate fin heat sinks in transferring heat which will give out results in the form of dimensionless variables, for example $Nu = aRe^bPr^c$

2. หลักการคิด

การหารูปร่างที่เหมาะสมในการระบายความร้อนของครีบบแผ่นที่เรียงตัวแบบสลับแถว จะใช้ทฤษฎีของครีบบระบายความร้อนที่ไม่คิดการถ่ายโอนความร้อนที่ปลายครีบบระบายความร้อน (Fins with Negligible Heat Loss at Fin Tip) [1] ในการคำนวณ ซึ่งเป็นการสมดุลระหว่างการถ่ายโอนความร้อนโดยการนำความร้อน (Conduction) กับการถ่ายโอนความร้อนโดยการพาความร้อน (Convection) โดยไม่พิจารณาการถ่ายโอนความร้อนโดยการแผ่รังสี (Radiation) เนื่องจากการถ่ายโอนความร้อนโดยการพาความร้อนที่เกิดขึ้นในครีบบระบายความร้อนมีค่าที่ต่ำกว่า [2]

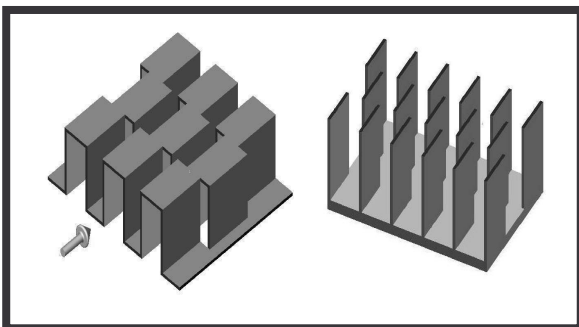
ซึ่งแหล่งที่ก่อให้เกิดความร้อนขึ้นในระบบคือ ชิ้นส่วนอิเล็กทรอนิกส์ที่มีกระแสไฟฟ้าไหลผ่านในระยะเวลาหนึ่งๆ ($P = I^2R = IV$) และกระแสไฟฟ้านี้จะไหลผ่านความต้านทานในชิ้นส่วนอิเล็กทรอนิกส์ ส่งผลให้เกิดการสูญเสียความร้อน (Heat Dissipation) ขึ้นที่อุปกรณ์นั้นๆ และส่งผ่านไปยังฐานครีบบระบายความร้อนต่อไป ซึ่งความร้อนที่เกิดขึ้นในชิ้นส่วนอิเล็กทรอนิกส์ที่ถูกส่งผ่านไปยังฐานครีบบระบายความร้อนจะเป็นประเด็นสำคัญในการพิจารณา และออกแบบในการหาจุดที่เหมาะสมในการระบายความร้อน

จากที่กล่าวมาแล้วข้างต้นการถ่ายโอนความร้อนในครีบบแผ่นที่ใช้ในการระบายความร้อนจะทำการวิเคราะห์โดยไม่พิจารณาผลของการแผ่รังสี เนื่องจากครีบบระบายความร้อนแต่ละตัวอยู่ไม่ห่างกันมากทำให้ค่าความแตกต่างของอุณหภูมิไม่มากนัก เมื่อนำมาคิดแล้วผลจากการแผ่รังสีจึงมีค่าน้อยมากเมื่อเทียบกับผลการถ่ายโอนความร้อนโดยการพาความร้อน และเนื่องด้วยการถ่ายโอนความร้อนโดยการนำความร้อนที่เกิดขึ้นตลอดครีบบระบายความร้อนมีค่าคงที่ขึ้นอยู่กับวัสดุที่ใช้ผลิตครีบบระบายความร้อน (เช่น อลูมิเนียม)

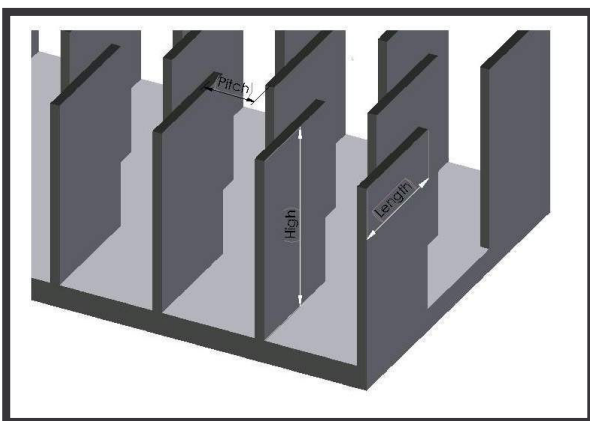
จึงพิจารณาได้ว่าความสามารถในการถ่ายโอนความร้อนของครีบริบายความร้อนโดยการพาความร้อนแบบบังคับ จะขึ้นอยู่กับค่าการถ่ายโอนความร้อนโดยการพาความร้อนเป็นหลัก โดยพิจารณาการไหลของของไหลให้เป็นการไหลแบบราบเรียบ (Laminar Flow) ที่ไหลผ่านครีบริบายความร้อนที่มีรูปร่างสม่ำเสมอ (Symmetry Model) และลักษณะการไหลของของไหลมีลักษณะการไหลซ้ำๆ เดิม (Periodic Flow) [3] โดยพิจารณาให้ของไหลนั้นๆ มีการพัฒนา ลักษณะการไหล และอุณหภูมิเต็มรูปแบบแล้ว (Fully Developed Flow and Temperature) เนื่องจากระยะในการพัฒนาของของไหล และอุณหภูมิ (Hydrodynamic and Thermal Entry Lengths) มีระยะ น้อยมาก หรือเรียกว่าเป็นการไหลแบบซ้ำๆ ที่มีการพัฒนาตัวเต็มที แล้ว (Periodically Fully Developed Flow) ส่วนครีบริบายความร้อน และฐานครีบริบายความร้อนถูกพิจารณาเป็นผนังที่มีการส่งผ่านความร้อนที่คงที่ (Isothermal Model)

3. รูปทรงที่ใช้คำนวณ

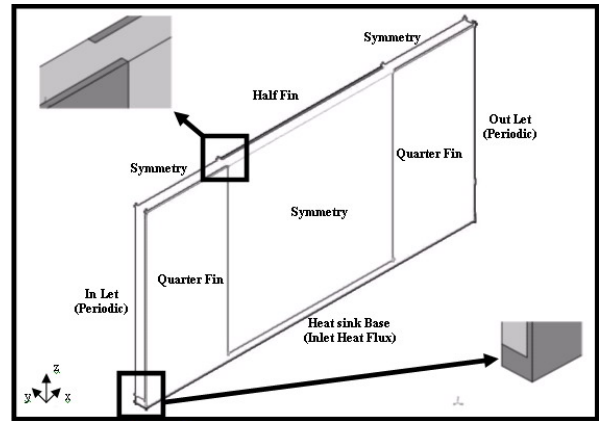
ในการใช้โปรแกรม GAMBIT ในการสร้างรูปร่างจำลองทั้งสองแบบดังภาพที่ 3 และ 4 จะเห็นว่าในภาพที่ 3 มีความซับซ้อนมากกว่าภาพที่ 4 ซึ่งเมื่อนำมาแบ่งกริด (Grid) แล้วจะเห็นว่าภาพที่ 3 ต้องใช้ทรัพยากรของเครื่องคอมพิวเตอร์มากกว่าภาพที่ 4 และจะส่งผลกระทบต่อราคาคำนวณค่าตอบอย่างมาก ดังนั้นเราจึงใช้แบบจำลองดังภาพที่ 4 ในการวิเคราะห์หาค่าตอบ



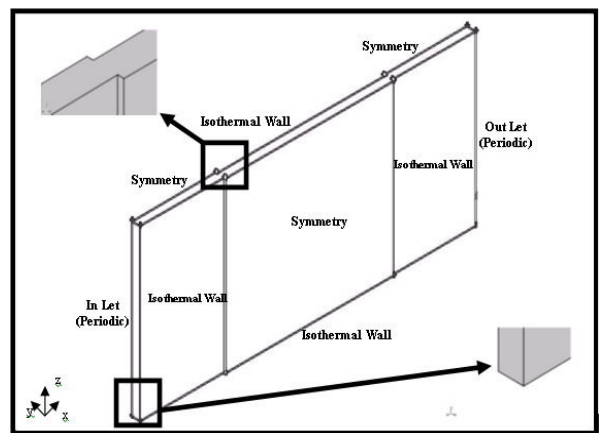
ภาพที่ 1 ครีบริบายความร้อนที่ใช้ทั่วไป และครีบริบายความร้อนที่ใช้ในการวิเคราะห์



ภาพที่ 2 ขนาดของครีบริบายความร้อนที่ใช้ในการวิเคราะห์



ภาพที่ 3 แบบจำลองแบบคอนจูเกต (Conjugate Model)



ภาพที่ 4 แบบจำลองแบบอุณหภูมิคงที่ (Isothermal Model)

และทำการกำหนดชนิดของเงื่อนไขขอบเขต กริดที่สร้างขึ้นมาจะส่งเข้าไปโปรแกรม FLUENT โดยไฟล์นามสกุล .mesh เพื่อใช้ในการคำนวณ ในโปรแกรม FLUENT นี้จะทำการกำหนดค่าทางกายภาพ คุณสมบัติของวัสดุ สภาวะในการทำงานเริ่มต้น และชนิดของเงื่อนไขขอบเขตฯ และทำการคำนวณผลต่อไป

4. สมการคำนวณ

สมการที่ใช้เป็นสมการอนุรักษ์มวล สมการโมเมนตัม และสมการพลังงาน หรือเรียกรวมๆ ว่าสมการควบคุม (Governing Equation)

$$\text{div}(\rho \mathbf{U}) = 0 \quad (1)$$

$$\text{div}(\rho \mathbf{u} \mathbf{U}) = S_{M_x} - \frac{\partial P}{\partial x} + \text{div}(\mu \text{ grad } u) \quad (2)$$

$$\text{div}(\rho \mathbf{v} \mathbf{U}) = S_{M_y} - \frac{\partial P}{\partial y} + \text{div}(\mu \text{ grad } v) \quad (3)$$

$$\text{div}(\rho \mathbf{w} \mathbf{U}) = S_{M_z} - \frac{\partial P}{\partial z} + \text{div}(\mu \text{ grad } w) \quad (4)$$

$$\text{div}(\rho i \mathbf{U}) = S_i + \Phi - P \text{div} \mathbf{U} + \text{div}(k \text{ grad } T) \quad (5)$$

โดยที่

$$P = P(\rho, T) \text{ and } i = i(\rho, T)$$

e.g. perfect gas $P = \rho RT$ and $i = C_v T$

$$\mathbf{U} = u\mathbf{i} + v\mathbf{j} + w\mathbf{k}$$

5. สภาวะเริ่มต้น

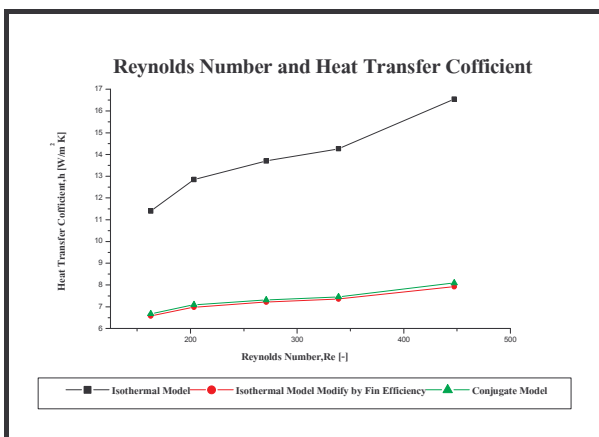
จากภาพที่ 4 เป็นส่วนหนึ่งของครีบริบายความร้อน (Heatsink) ที่ใช้นำมาวิเคราะห์ โดยกำหนดค่าความเร็วของอากาศที่ทางเข้า (inlet) ในช่วง 1.0 ถึง 2.8 m/s โดยอากาศเข้ามีอุณหภูมิ 300 K และลักษณะการไหลของอากาศเป็นแบบการไหลซ้ำๆ เดิม (Periodic Flow) ที่ทางเข้า (Inlet) และทางออก (outlet) เนื่องจากครีบริบายความร้อนที่มีรูปร่างสม่ำเสมอ ดังนั้นจึงทำการแบ่งแบบจำลองได้ตั้งรูป และค่าความร้อนที่ให้มีค่า 320 K ใช้เป็นแบบอุณหภูมิคงที่ (Isothermal) ที่ฐานครีบริบาย (Heatsink Base) และที่ครีบริบายความร้อน (Heatsink) ส่วนผิวด้านบนของแบบจำลองกำหนดให้เป็นฉนวน (Insulate)

6. ผลการทดลอง

จากค่าสัมประสิทธิ์การถ่ายโอนความร้อน (Heat Transfer Coefficient) ที่ได้จากการคำนวณของแบบจำลองในภาพที่ 4

$$\eta_F = \frac{\tanh(mH)}{mH} \quad (6)$$

โดยที่
$$mH = \sqrt{\frac{hP}{kA}} H = \sqrt{\frac{2h(L+t)}{kL}} H$$

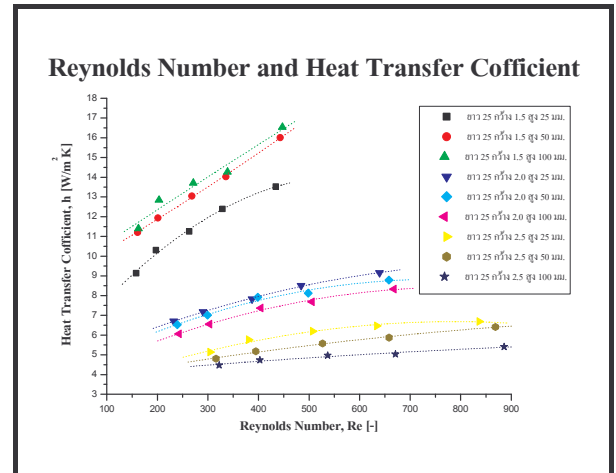


ภาพที่ 5 การเปรียบเทียบค่าสัมประสิทธิ์การถ่ายโอนความร้อนของแบบจำลองคอนจูเกต และแบบจำลองแบบอุณหภูมิคงที่

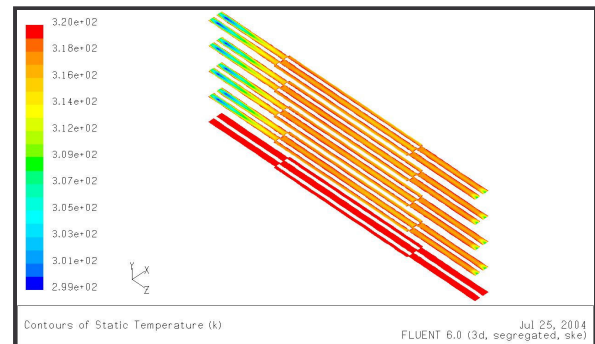
เมื่อนำมาคูณเข้ากับค่าประสิทธิภาพของครีบริบายความร้อน (Fin Efficiency) ที่ไม่คิดการถ่ายโอนความร้อนที่ปลายครีบริบายความ

ร้อน (Fins with Negligible Heat Loss at Fin Tip) แล้วจะมีค่าใกล้เคียงกับค่าการถ่ายโอนความร้อน (Heat Transfer Coefficient) ที่ได้จากการคำนวณของแบบจำลองในภาพที่ 3 ดังแสดงไว้ในภาพที่ 5

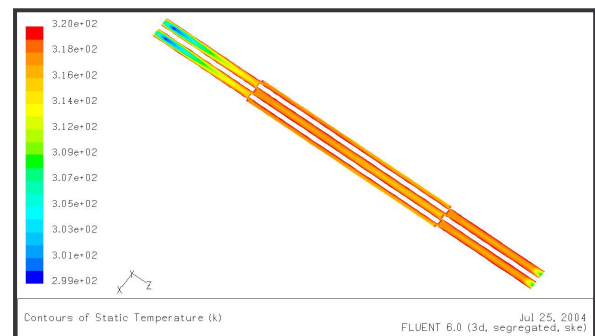
7. สรุปผลการทดลอง



ภาพที่ 6 กราฟความสัมพันธ์ของค่า Reynold number กับค่าสัมประสิทธิ์การถ่ายโอนความร้อน ที่มีความยาวครีบริบายเท่ากัน



ภาพที่ 7 รูประดับชั้นอุณหภูมิของแบบจำลองตามแนวแกน y



ภาพที่ 8 รูประดับชั้นอุณหภูมิของแบบจำลอง

จากค่าความสัมพันธ์ของค่าความยาวของครีบริบาย (L) ค่าระยะห่างระหว่างครีบริบาย (p) ค่าความสูงของครีบริบาย (H) และค่าความเร็วของอากาศ (v) ที่เปลี่ยนไปจะพบว่า

7.1 ในกรณีที่ระยะห่างระหว่างครีบบี้น้อยจะทำให้ค่าการถ่ายโอนความร้อน และค่าความดันลดยิ่งสูงกว่ากรณีที่ระยะห่างระหว่างครีบบี้นั้นมาก ซึ่งค่าการถ่ายโอนความร้อนที่เพิ่มขึ้นนี้จะก่อให้เกิดค่าความดันลดยิ่งสูงขึ้นตามมาอย่างหลีกเลี่ยงไม่ได้

7.2 ในกรณีที่ครีบบี้นั้นมีความสูงมาก หรือน้อยไม่ส่งผลมากนักต่อค่าการถ่ายโอนความร้อน

7.3 ในกรณีที่ครีบบี้นั้นมีความยาวน้อยจะทำให้ค่าการถ่ายโอนความร้อนที่สูงกว่ากรณีที่ครีบบี้นั้นมีความยาวมาก เนื่องจากกรณีที่ครีบบี้นั้นมีความยาวน้อยจะส่งผลให้เกิดค่าความปั่นป่วนขึ้นภายในระบบมากกว่ากรณีที่ครีบบี้นั้นมีความยาวมาก

เอกสารอ้างอิง

- [1] M. Necati Ozisik, Heat Transfer : a basic approach. : McGraw-Hill, 1998.
- [2] Y.A. Cengel, Heat Transfer : a practical approach. Boston Mass. : WCB/Mcgraw-Hill, 1998.
- [3] H.K. Versteeg and W. Malalasekera, An Introduction to Computational Fluid Dynamics : the Finite Volume Method. : Pearson Education Limited, 1995.